

ELEKTROSEDİMENTASYON YENİ BİR YÖNTEM

Gürler İLİÇİN*

Ziya GÜNER**

Cihan YURDAYDIN***

Vecihli BATUMAN

Ferit PEHLİVAN**

İlk kez 1918' de Fahraeus tarafından klinik uygulamaya sokulan sedimentasyon tayininde(4), bazı yöntemler tarif edilmiştir (32). Bunlar arasında en çok tanınanları Westergreen (2,32), Rourke Ernstene (24), Wintrobe (31,32) ve bazı mikroyöntemlerdir (26,32). Sedimentasyon yöntemleri ile ilgili çalışmaların tümünde, ya yeni bir yöntem teklif edilmekte veya varolan gözden geçirilmekte, ya bilinen yöntemlerin klinik uygulamaları sunulmakta veya sedimentasyon hızını etkileyen faktörler gözden geçirilmektedir. Eldeki yöntemlerle eritrosit sedimentasyonu bir sonuç olgu olarak belirlenmekte ve hastalıklar hakkında kalitatif bilgi elde edilememektedir.

1973'den beri geliştirdiğimiz, elektrosedimentasyon diye adlandırdığımız bu yeni yöntemle yüzlerce olgu üzerinde çalışmaktadır (7,12). Burada "elektrosedimentasyon" yöntemi sunulacak ve hastalıklarla ilgili verdiği kalitatif bilgi gözden geçirilecektir.

MATERİYEL

Araştırma toplam 170 olguda uygulanmıştır. Çalışmanın uygunduğu birinci grupta organik hastalığı olmayan 50 normal insan bulunmaktadır. Yaşları, 18-60 arasında değişmekte ve ortalama 32'dir. 28'i kadın, 22'si erkektir. İkinci grupta Jones kriterlerine göre seçilmiş 57 romatizmal aktiviteli hasta vardır. Bu hastaların yaşları, 9-42 arasında değişmekte ve ortalama 24'dür. 33'ü kadın, 24'ü erkektir. Üçüncü grupta kan kültürleri ile tanısı kesinleştirilmiş 33 infektif endokarditli hasta bulunmaktadır. Yaşıları, 11-39 arasında değişmekte ve ortalama 26'dır. 20'si erkek, 13'ü kadındır. Dördüncü grupta β thalassemia minör'lü 30 hasta bulunmaktadır. Hastaların hepsinde hemoglobin elektroforezi yapılarak β thalassemia minör tanısı konul-

* Ondokuz Mayıs Ü.T.F. Kardiyoloji Bilim Dalı Profesörü

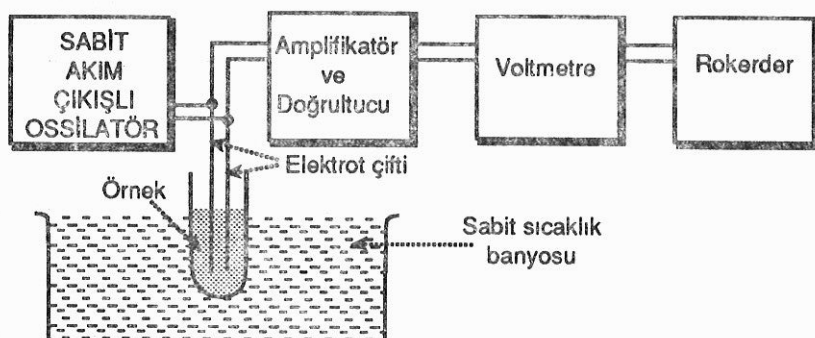
** A.Ü.T.F. Biyofizik Anabilim Dalı Profesörü

*** A.Ü.T.F. Gastroenteroloji Anabilim Dalı Doçenti

muştur. Bu gruptaki olguların yaşı ortalama 29 olmak üzere 28-44 arasında değişmektedir. Hastaların 16'sı kadın, 14'ü erkektir.

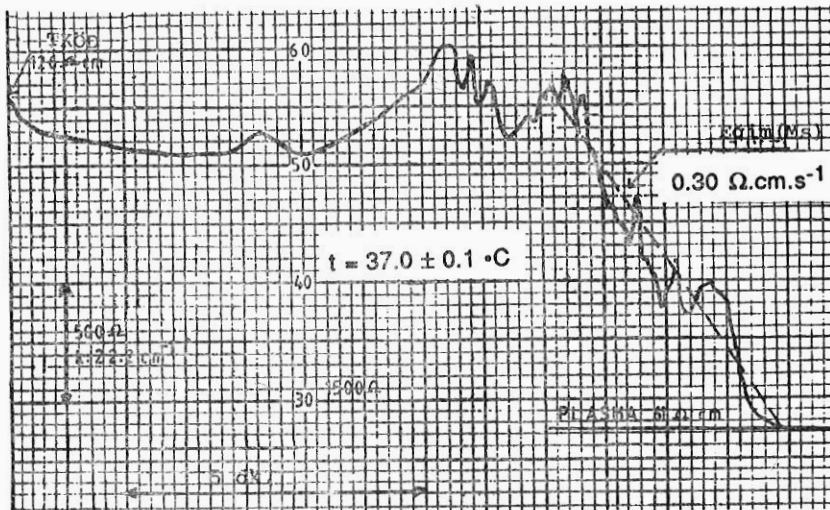
METOT

Elektrosedimentasyon ölçümu için kullanılan sistem, sabit akım çıkışlı ossilatör, amplifikatör ve doğrultucu, voltmetre ve rekorder'den oluşmaktadır (Şekil 1). Rekorder, Heath Schlumberger (SR 255 A/B) servo rekorder'dır. Sisteme kullanılan elektrik akımı sinüzoidal, akım şiddeti 8 mikroamperdir. Elektrot/cözelti arayüzüne ait elektriksel çift tabakanın (double layer) kapasitif etkilerini(17) gidermek için akının frekansı 42 000 Hz olarak seçilmiştir. Sisteme bir dipol elektrot bağlanmıştır. Dipol elektrot, platininden yapılmıştır. Elektrot ucları arasındaki mesafe 1 mm ve elektrot yüzölçümü 0.3 mm^2 'dir, platin teller akrilik ile yaşılmış ve 3 mm çaplı silindir çubuk şeklinde biçimlenmiştir. Rekorder kağıdı üzerindeki 100 bölme, 5000 Ohm'u göstererek şekilde kalibre edilmiştir. Sisteme ayrıca 37°C 'a ayarlanmış sabit ısı banyosu ilave edilmiştir.

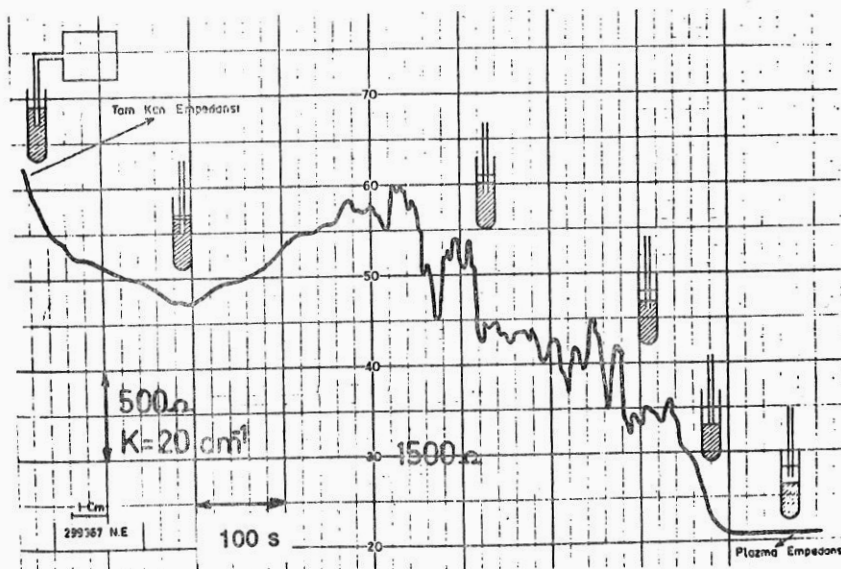


Şekil 1. Elektrosedimentasyon yöntemi blok şeması.

Hastalardan alınan 4 ml heparinize kan, 1 cm çaplı standart tüplere konulmaktadır. Tam kan usulüne göre karıştırılarak sabit ısı banyosuna yerleştirilmekte ve dipol elektrot kan yüzeyinden 5.5 mm derine baturılmaktadır. Düşey olarak konumlanmış tüpte şekilli elemanların çöküşü ile birlikte rekorder kağıdında empedans değişikliklerini aksettiren bir eğri oluşmaktadır. Normal grubun karakteristiğini ve empedans gözlem tüpü içinde olayın gelişimini belirleyen bir eğri Şekil 2'de sunulmuştur. Eğri, tam kan empedansının ölçümü ile başlamakta ve elektrodun zaman içinde plazmaya çıkış ve plazma empedansının ölçümü ile son bulmaktadır (Şekil 3). Bu yöntemle hesaplanan empedans ölçüm yoluyla, aşağıda sunulan fiziksel temele dayalı olarak, seçilen ortamin lokal özdirenci tayin edilmektedir.



Şekil 2. Normal grubun karakteristğini örnekleyen bir elektrosedimentasyon eğrisi (TKÖD: Tam kan özdirenci).



Sekil 3. Normal grubun karakteristiğini belirleyen tam kan elektrosedimentasyon eğrisi.

Bir ortamdan, noktasal ve birbirine yakın iki elektrot ile akım geçirilerek bulunan rezistif empedans değeri ile ortamin fiziksel özellikleri arasındaki ilişki,

$$Z_R = \frac{V}{I} = \frac{\epsilon_0 \epsilon}{C} \rho \quad (1)$$

şeklinde ifade edilebilir (7). Bu bağıntıda ϵ_0 , ortamin permittivitesi, ϵ , ortamin dielektrik sabiti, C , elektrot sisteminin siğası, ρ , ortamin özdirenci, Z , ortamin rezistif empedansı, V , elektrot uçlarında gözlenen potansiyel farkı, I ise ortamdan geçen toplam akım şiddetidir. Elektrot takiminin siğa değeri, ortamin dielektrik sabiti ile oranlı olduğundan kısaca rezistif empedans ile ortamin özdirenç ilişkisi,

$$Z_R = \frac{V}{I} = K \rho \quad (2)$$

bağıntısıyla gösterilebilir. Ölçülen rezistif empedans değerinin ortamin özdirenci ile oranlı olduğunu ortaya koyan bu bağıntıdaki K , elektrot boyutlarına ve konumlarına bağlı olan, bir elektrot takımı için sabit bir katsayıdır. Bu temel özelliği nedeniyle noktasal ve birbirine yakın elektrot çiftleri (dipol elektrot) kullanarak ortamin lokal özdirenç tayinlerinin yapılabilmesi mümkündür.

Elde edilen sedimentasyon eğrileri üzerindeki çalışmalar şu şekilde özetlenebilir:

1. Eğrinin kendini tekrarlayıp tekrarlamadığını belirlemek ve parametrik incelemeler için hastaların büyük bir kısmında eğri en az iki kez çizdirilmiştir.

2. Westergreen yöntemine göre, 43 hastada oda sıcaklığında sedimentasyon hızı belirlenmiş (mm/saat) ve elektrosedimentasyonda sedimentasyon zamanı (saniye) arasında korelasyon eğrisi geliştirilmiştir (Şekil 4).

3. Eğrilerin hastalıklarla ilgili kalitatif bilgi verip vermediğini belirlemek ve elde edilen eğrinin anlamını analiz etmek üzere aşağıda sunulacak parametreler geliştirilmiştir. Daha sonra bu parametreler arasında fonksiyonel ilişki bulunup bulunmadığı araştırılmıştır. Bu parametrelerden eğri üzerinde belirtilebilenler Şekil 5'de gösterilmiştir.

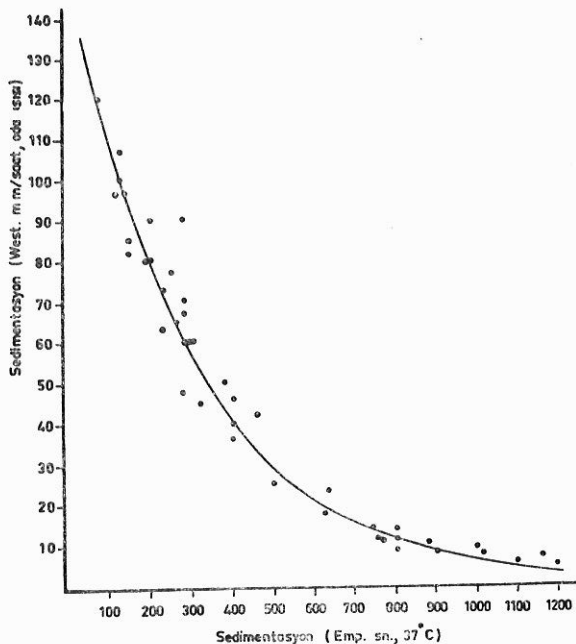
Elektrosedimentasyon eğrilerinin değerlendirilmesinde kullanılan parametrelerin anamları aşağıda sunulmuştur:

α : Tam kan özdirenci/plazma özdirenci olarak tanımlıdır ($\alpha = Z_{RTK}/Z_{RP}$).

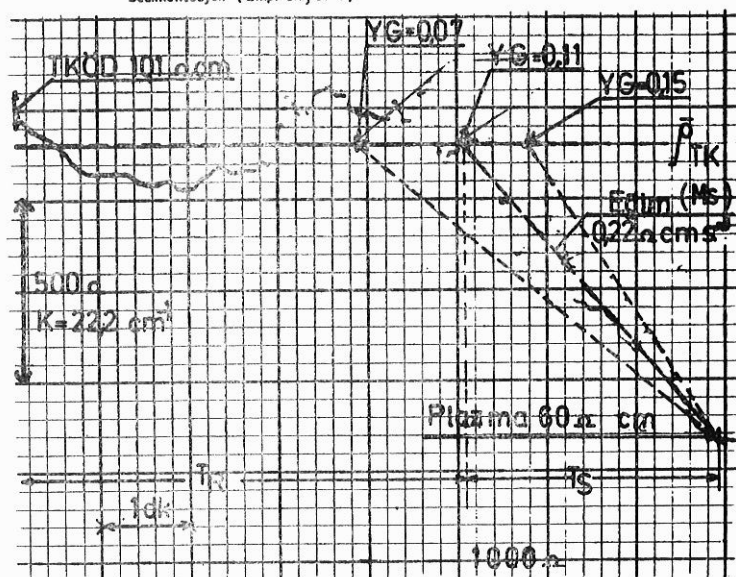
ϕ : Bir ortamda bulunan şekilli elemanların volüm kesridir (yani, örnek içindeki şekilli elemanların toplam hacminin örneğin toplam hacmine oranıdır). Bu parametre ile α parametresi arasında,

$$\phi = \frac{\alpha - 1}{\alpha + 0.5} \quad (3)$$

şeklinde bir ilişki vardır ve bu ilişkinin çatılışı ileride verilmiştir.



Şekil 4. Westergreen ve elektrosedimentasyon yöntemleri ile belirlenen sedimentasyon hızları arasındaki ilişkiye belirleyen korelasyon eğrisi.



Şekil 5. Elektrosedimentasyon eğri analizinde kullanılan çeşitli parametrelerin bir örnek eğri üzerinde tanımları (TKÖD: Tam kan özdirenci; diğer terimler metin içinde açıklanmıştır).

β : Eritrosit sedimentasyonunun başlangıç evresinde eritrositlerin rulolar oluşturdukları ve daha sonra çökmeye başladıkları bilinmektedir. Eğrinin biçiminden (Şekil 5) muhtemelen eritrositlerin rulo-

laşmaları için geçen süreyi belirleyen T_r ve oluşan ruloların hızlı çökme süresi T_s ayırdedilebilmektedir. T_r 'nin T_s 'ye oranı β parametresini verir ($\beta = T_r / T_s$).

M_s : Elektrosedimentasyon eğrisi hızlı çökme sürecinde yaklaşık sabit bir eğimle azalm göstermekte ve üzerinden ortalama bir doğru geçirilebilmektedir. M_s parametresi bu doğrunun eğimi olarak hesaplanmıştır. Sayısal olarak, $M_s = (\rho_{TK} - \rho_p) / T_s$ dir. Burada ρ_{TK} ortalama tam kan özdirenci, ρ_p , plazma özdirenci ve T_s , ruloların hızlı sedimentasyon süresini belirlemektedir.

T_t : Eğrinin tamamlanması için geçen total süredir. Rulolaşma süresi olarak kabul edilen T_r ile hızlı sedimentasyon süresi T_s 'nin toplamıdır ($T_t = T_r + T_s$).

YG: M_s ve α parametrelerinin hesaplanması sırasında bulunan değerler, M_s 'in α ya bağlı olduğunu telkin etmiştir. Bu ilişkinin, $M_s = YG(\alpha) + n$ biçiminde olduğu saptanmıştır. YG, korelasyon doğrusunun eğim kat sayısıdır. Bu parametre, hızlı sedimentasyon süresinin hematokrit değerine göre değişimini belirlemektedir.

Bu araştırmada toplam 170 olguda tanımlanan elektrosedimentasyon eğrisi ikişer defa çizdirildi. Toplam 15 normal ve 43 romatizmal aktiviteli hastanın hematokrit değerleri, mikrosantrifüj yöntemi ve sedimentasyon eğrisinden tam kan ve plazma rezistif empedansları ölçülerek [3] formülüne göre hesaplandı ve aralarındaki korelasyon eğrisi belirlendi. Toplam 57 romatizmal aktiviteli, 33 infektif endokarditli ve 50 normal olguda elektrosedimentasyon eğrisi çizdirildi. Romatizmal aktiviteli ve infektif endokarditli hastaların eğrilerinin birbirinden ayrılabiliğliği, yine her iki hastalık grubuna ait eğrilerin normal olguların eğrilerinden ayrılabiliğği araştırıldı. Nihayet 30 thalassemia minör'lü kişinin elektrosedimentasyon eğrisi normal olguların eğrileriyle karşılaştırıldı.

Çalışmada istatistikî değerlendirme "unpaired student's t testi" ne göre yapıldı.

Şekilli Elemanların Volum Kesri İle Bağlı Empedans İlişkisi

Elektrolitik bir ortamin iletkenliği, iyon konsantrasyonları ve mobilitesi cinsinden en genel şekilde,

$$\sigma = \sum (n^+_i Z^+_i e \mu^+_i + n^-_j Z^-_j e \mu^-_j) \quad (4)$$

bağıntısıyla ifade edilebilir. Burada n iyon konsantrasyonunu, μ iyon mobilitesini, Z iyon değerliliğini ve e de bir elektron yükünü göstermektedir. i ve j harfleri farklı iyon çeşitlerini belirliyen indislerdir.

Başlica Na, Cl ve az miktarda başka anyon ve katyonları ihtiva eden vücut sıvıları için iletkenlik,

$$\sigma = n^+_{Na} e \mu^+_{Na} + n^-_{Cl} e \mu^-_{Cl} + \sum (n^+_{Ka} Z^+_{Ka} e \mu^+_{Ka} + n^-_A Z^-_A e \mu^-_A) \quad (5)$$

şeklinde yazılabilir (A: Anyon, Ka: Katyon). Plazma sıvısında sodyum ve klorun kon-

santrasyon ve mobiliteleri yanında diğer iyon ve şekilli elemanların konsantrasyon ve mobiliteleri çok düşük olduğundan, [5] denkleminde diğer terimler ihmal edilerek ve $(n^+_{Na} e \mu^+_{Na})$ parantezine alımarak, iyi bir yaklaşımla,

$$\sigma = n^+_{Na} e \mu^+_{Na} \left(1 + \frac{n_{Cl} \mu_{Cl}}{n_{Na} \mu_{Na}} \right) \quad (6)$$

denklemi oluşturulabilir. Bu denklem plazma sıvısında akımın başlica Na ve Cl iyonları tarafından oluşturduğunu göstermektedir. Bu bağıntının parantez terimi n^-_{Cl} (105 mEq/l), n^+_{Na} (144 mEq/l), μ^-_{Cl} ($6.5 \times 10^{-8} \text{ m}^2/\text{V.s}$) ve μ^+_{Na} ($4.3 \times 10^{-8} \text{ m}^2/\text{V.s}$) için ortalama değerler alınarak, plazma sıvısında 1.92 olarak bulunmuştur (3).

Bir elektrolit içine yalıtkan şekilli elemanlar katıldığında ortamın iletkenliğinin ve viskozluğunun değiştiği bilinmektedir (22). Bu özelliğin şekilli eleman içeren tam kan sıvısı için geçerli olduğu ve kan sıvısı viskoslugu ile hematokrit değeri arasında kesin bir ilişki bulunduğu Pirofsky (19) tarafından gösterilmiş ve şekilli eleman volüm kesri ile iletkenlik değişimini ilişkisi belirlenmiştir.

Belli bir volüm kesrinde şekilli eleman içeren bir ortamın elektriksel iletkenliğini σ^x ve şekilli elemanları arıtladıktan sonra ölçülen iletkenliğini σ_0 ile gösterelim. Kan sıvısı, şekilli eleman içeren bir elektrolitik ortam olduğundan tam kan ve plazmanın iletkenlik değerlerinin farklı olacağı açıklır. İçinde yalıtkan ve süspansiyon haliinde cisimcikler bulunan bir elektrolitin elektriksel iletkenliğinin ve viskozluğunun değişmesi olayının nedeni birçok araştırmacı tarafından inceleme konusu yapılmış ve deney sonuçları ile kısmen tutarlı çözümler vermişlerdir (5,28). Biz, kan sıvısında toplam şekilli eleman hacim kesri ile iletkenlik değişimini arasındaki ilişkiyi araştırırken obstrüksiyon modeline (22) uyarak,

a) yalıtkan cisimcikler içeren bir elektrolit süspansiyonunda bu cisimcikler arası elektrolitin birim hacimdeki iyon sayısı ve bu iyon mobilitelerindeki değişimin ihmal edilebilir bir düzeye olduğu,

b) cisimciklerin başlica etkin iletim kesit alanında ve etkin iletim uzunluğunda değişiklik meydana getirdiği (22), postülatlarını temel alarak şekilli elemanlar volüm kesri ile ortam iletkenlikleri arasındaki ilişkinin değişik morfolojideki (silindirik, küresel, kübik) cisimcikler için yaptığımız hesaplamalarda,

$$\frac{\sigma_0}{\sigma^x} = \frac{1 + \beta \phi}{1 - \gamma \phi} \quad (7)$$

şeklinde ifade edilebileceği sonucuna vardık. Burada β ve γ obstrüksiyon yapan cisimciklerin biçimine göre değişen parametrelerdir. Yaptığımız karşılaşmaları deneylerde kan sıvısı için $\gamma = 1$ ve $\beta = 0.5$ yaklaşımının geçerli olduğunu saptayarak,

$$\frac{\sigma_0}{\sigma^x} = \frac{1 + 0.5 \phi}{1 - \phi} \quad (8)$$

bağıntısını kurduk.

Ahnın bir tam kan örneğinin özdirenç değerini ρ_{TK} ve plazmanın özdirencini de ρ_p ile gösterelim. Özdirenç ve iletkenlik arasındaki $\rho = 1/\sigma$ ilişkisi, iletkenliklerle ϕ kan hücreleri volüm kesri arasındaki [7] bağıntısı ve [2] bağıntısı birlikte dikkate alınarak,

$$\alpha = \frac{Z_{RTK}}{Z_{RP}} = \frac{\rho_{TK}}{\rho_p} = \frac{1 + 0.5 \phi}{1 - \phi} \quad (9)$$

bağıntısı elde edilir. Burada Z_{RTK} tam kan rezistif empedansı, Z_{RP} ise plazmanın empedansıdır. $Z_{RTK}/Z_{RP} = \alpha$ ile gösterilerek ve [10] denkleminden ϕ çözürlerek,

$$\phi = \frac{\alpha - 1}{\alpha + 0.5} \quad (10)$$

bağıntısı bulunur. İnsan kanındaki hücrelerin çok büyük bir kısmı eritrosit olduğuna göre tam kanda bu yöntemle bulunan volüm kesri hematokrit değerine eşit sayılabilir.

BULGULAR

1. Eğriler "reproducible" dir. Kanın standart çalkalanmasına dikkat edilir ve elektrot konumuna titizlikle uyulursa, eğriler benzer olarak tekrarlanmaktadır.

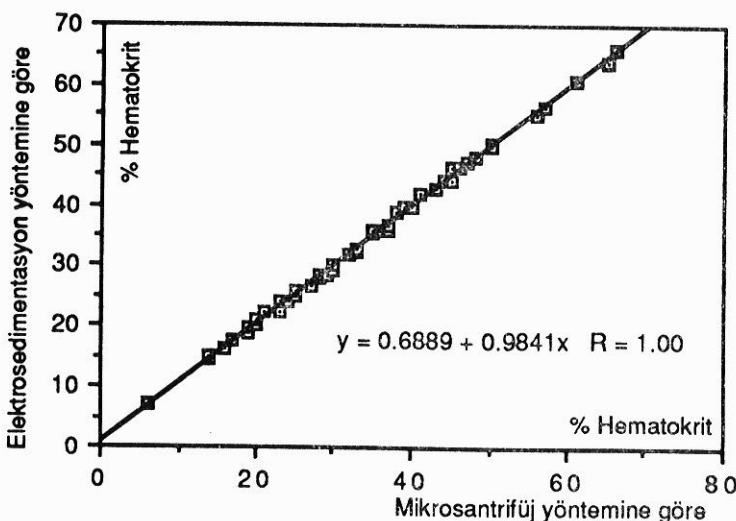
2. Westergreen ve empedans yönteminden 43 hastada elde edilen total sedimentasyon süresi arasında korelasyon vardır (Şekil 3).

3. Eğrilerin hastalık grupları arasında farklılık gösterip göstermediğini araştırmak amacıyla yapılan araştırmaların sonucu şöyle özetlenebilir:

a. Hematokrit değerleri geniş bir aralikta değişen normal ve patojik 61 kan örneğinin mikrosantrifüj yöntemi ile hesaplanan hematokrit değerleri ile elektrosedimentasyon eğrisinden geliştirdiğimiz formülle hesaplanan değerleri arasında tam bir tutarlılık saptanmış (8), Şekil 6 da görüldüğü gibi korelasyon katsayısı $R=1.00$ bulunmuştur.

b. Tablo I'de elektrosedimentasyon eğrilerinin değerlendirilmesinde tanımlanan parametrelerin ortalama değerleri, Tablo II de ise dört grubaait bu parametrelerin istatistiksel karşılaştırılması sunulmuştur.

Tablo III'de romatizmal aktiviteli hastaların parametreleri ile in-



Şekil 6. Elektrosedimentasyon yöntemi ile belirlenen hematokrit değerlerinin mikrosantrifüj yöntemi ile belirlenen hematokrit değerleri ile karşılaştırılması.

Tablo I. Eğrilerin değerlendirilmesinde kullanılan parametrelerin ortalamaları ve standart sapmaları (SD).

	$\alpha = \frac{Z_{TK}}{Z_p}$	$\beta = \frac{T_R}{T_s}$	M_s $\Omega \cdot \text{cm. s}^{-1}$	YG $\Omega \cdot \text{cm. s}^{-1}$	T_t dak.
Grup I (Normal)	2.50 ± 0.30	1.50 ± 0.30	0.32 ± 0.05	0.11 ± 0.02	17 ± 3
Grup II (R. A.)	1.70 ± 0.20	1.20 ± 0.50	0.16 ± 0.05	0.07 ± 0.02	7.5 ± 3
Grup III (I.E.)	1.80 ± 0.22	2.00 ± 0.70	0.30 ± 0.05	0.15 ± 0.02	8 ± 2
Grup IV (Th. Min.)	1.98 ± 0.25	<1	0.06 ± 0.03	--	19 ± 4

R.A.: *Romatizmal aktivite*, I.E.: *İnfektif endokardit*, Th.Min.: *Thalassemia minör*

Tablo II. Parametrelerin istatistiksel karşılaştırılması

	α	β	M_s	YG
Grup I - II (N. ve R.A.)	$p < 0.01$	$p < 0.05$	$p < 0.01$	$p < 0.001$
Grup I - III (N. ve I.E.)	$p < 0.01$	$p < 0.05$	$p > 0.40$	$p < 0.01$
Grup I - IV (N. ve Th. Min.)	$p > 0.40$	$p < 0.01$	$p < 0.001$	--

N.: *Normal*, R.A.: *Romatizmal aktivite*,
I.E.: *İnfektif endokardit*, Th.Min.: *Thalassemia minör*

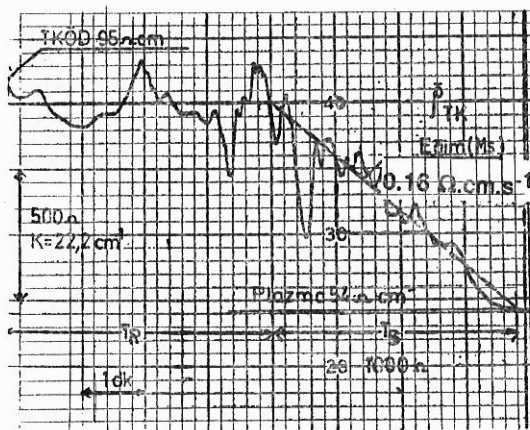
Tablo III. Romatizmal aktivite - infektif endokardit ayrimında parametrelerin istatistiksel karşılaştırılması

	α	β	M_s	YG
Grup II - III (R.A. ve I.E.)	$p < 0.50$	$p < 0.05$	$p < 0.01$	$p < 0.001$
R.A.: <i>Romatizmal aktivite</i> , I.E.: <i>İnfektif endokardit</i>				

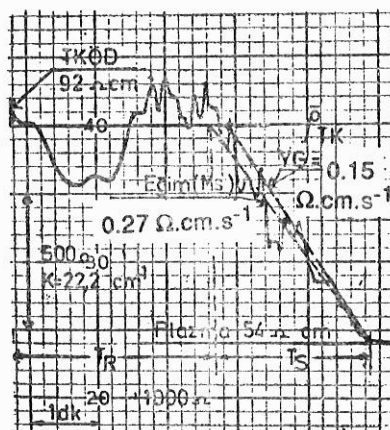
fektif endokarditlilerin parametrelerinin istatistiksel karşılaştırılması sunulmuştur.

Istatistiksel verilerden anlaşılabileceği gibi normal olguların eğrileri diğer gruplardan ayrılabilmektedir. Romatizmal aktiviteli hastaların β , M_s ve YG parametreleri infektif endokarditlilerden anlamlı şekilde farklıdır. Bunlar arasında YG parametresi en belirleyici olmalıdır. Genel seride romatizmal aktivite, infektif endokardit ayrimı % 86 oranında yapılmaktadır. Şekil 7 de romatizmal aktiviteli, Şekil 8 de ise infektif endokarditli hastalara ait birer örnek sunulmuştur.

Normal olguların elektrosedimentasyon eğrileri ile β thalassemia minör'lü hastaların eğrileri % 92 oranında birbirinden ayrılabilmektedir. Olguların % 57'sinde parametrik değerlendirmeye dahi gerek kalmadan



Şekil 7. Romatizmal aktiviteli bir hastaya ait elektrosedimentasyon eğri örneği. (TKÖD: Tam kan özdirenci; diğer terimler metin içinde açıklanmıştır).



Şekil 8. Infektif endokarditli bir hastaya ait elektrosedimentasyon eğri örneği (TKÖD: Tam kan özdirenci; diğer terimler metin içinde açıklanmıştır).

gözle ayırm yapılmamıştır. Parametrelerden en belirleyici olanı M_s 'dır.

Hastalık gruplarının kan örnekleri için M_s ve α değerleri arasında bulunan doğrusal ilişki denklemi ve istatistik parametre değerleri Tablo IV'da verilmektedir. Bu parametrelerden r korelasyon katsayısı, n istatistik değerlendirmeye giren öğe sayısı, p anlamlılık düzeyi, S_{xy} , $M_s = f(\alpha)$ ilişkisinde M_s ölçü değerlerinin istatistik korelasyon doğrusu dolaylarında dağılımını belirleyen parametredir.

Tablo IV. Hastalık gruplarının kan örnekleri için M_s ve α parametreleri arasında bulunan ilişki denklemi ve istatistik parametreler

	İlişki denklemi	r	n	p	S_{xy}
Grup I (N.)	$M_s = 0.11 \alpha + 0.04$	0.80	50	< 0.01	± 0.04
Grup II (R.A)	$M_s = 0.07 \alpha + 0.04$	0.39	42	< 0.05	± 0.05
Grup III (I.E.)	$M_s = 0.15 \alpha + 0.03$	0.80	33	< 0.01	± 0.04
Grup IV (Th. Min.)	$M_s = f(\alpha)$	belirlenemedi.			
N. : Normal, I.E.: Infektif endokardit,	R.A. : Romatizmal aktivite, Th.Min. Thalassemia minör				

TARTIŞMA

Bugün tipta sedimentasyon denilince, belirli bir zaman içinde eritrositlerin çökme hızını belirleyen ve hastalıklar hakkında kalitatif bilgi vermeyen bir yöntem akla gelmektedir. Gerçekten 1918'de Fahrae-

us (4) tarafından uygulamaya sokulduktan sonra üzerinde yoğun araştırmalar yapılmış. Westergreen (2,32), Wintrobe (31,32), Rourke Ernstone (24) ve bazı mikroyöntemler (26,32) tanımlanmıştır. Hangi yöntem olursa olsun, bunların tümünde, ya belirli bir zamanda eritrositlerin çökme hızı mm/h olarak saptanmakta veya eritrositlerin belirli bir mesafede çökmesi için geçen süre değerlendirilmektedir. Elde edilen sonuç ise non spesifiktir.

Sedimentasyon olayı, eritrositlerin birbirlerine yapışarak rulolar oluşturmazı ile başlamaktadır (1,29). Normal hızlardaki sedimentasyonda ilk beş dakika içinde ruloların olduğu bilinmektedir (1). İlk 5-15 dakika içinde büyük rulolar oluşur (1,29).. 1957'de Washburn ve Meyers (29).in mikroskopik tetkikle sedimentasyon olayını inceledikleri çalışmada 300-400 hücre içeren ruloların 32 saniyede 1 mm, 50-60 hücrelik ruloların 75 saniyede 1 mm çöktüğü gösterilmiştir. Sedimentasyon hızlı olan olgularda rulo formasyonu da hızlı olmakta ve ilk dakika içinde 20-30 hücrelik rulolar gelişmektedir. Elektrosedimentasyon eğrisi, sedimentasyonu normal olan kişilerde 15-20 dakikada sonuçlanmaktadır. Eğrilerin incelenmesinden anlaşılabileceği gibi geçen sürenin yaklaşık 1/3'ünde empedansta büyük bir değişiklik olmamaktadır. Bu dönemde muhtemelen rulolar oluşmakta ve bu rulolar daha sonra yoğunluk farklarına göre karakteristik eğriyi oluşturmaktadır. Eğrinin standart çalkalama ve dipol elektrodun konumuna göre titizlikle uyulması halinde 'reproducible' olması, girişti ve çıkışlarının rastgele sıralanmadığını göstermektedir. Daha ayrıntılı gözlem tetkikleri ile rulolar hakkında daha ayrıntılı bilgi almak kuşkusuz olasıdır.

Elektrosedimentasyon eğrisi ile Westergreen metodundan elde edilen 43 hastaya ait sonuçlardan geliştirilen korelasyon eğrisi Şekil 4'de sunulmaktadır. Şekilde düşey eksende mm/saat olarak Westergreen sonuçları, yatay eksende ise saniye olarak empedans sonuçları verilmiştir. Kuşkusuz, belirlediğimiz gözlem koşullarının dışında değişik sıcaklık ve elektrot derinliğinin kullanılması ile yeni korelasyon eğrileri geliştirilebilir.

Doku iletkenliği gözlemleri, tip ve biyoloji bilimlerinde uygulama ve araştırma amaçlarıyla ve otomatikleştirilmiş hematolojik ölçümle kullanılmaktadır (6,25).

Değişik model "Coulter Counter" larda ve SMA gibi araçlarda elektriksel iletkenlik ölçümelerinden belirli hücre sayımları ve hematokrit tahminleri güvenilir yöntemler olarak günlük uygulamaya girmiştir (18,30).. Ancak bu yöntemlerin hepsinde verilen kanörneğinde sadece tam kan iletkenlik ölçümü yapılmakta ve hazırlanmış dönüşüm tablolardan belirli iletkenlik ölçümelerine korele edilmiş olan hematokrit

veya diğer bir hematolojik indis değeri okunmaktadır (18,30).

Bizim çalışmamızda ise elektrosedimentasyon eğrisinde hem tam kanın, hem de plazmanın rezistif impedans değeri ölçümlerinde ve kurduğumuz [3] bağıntısı ile hematokrit değeri bir korelasyon tablosuna gerek kalmadan tayin edilebilmektedir. Bu yöntemle bulunan hematokrit değerleri ile mikrosantrifüj yöntemi ile belirlenen değerler arasında mükemmel bir tutarlılık saptanmıştır (8). Tam kan ve plazma rezistif impedans değerleri arasında oranlama yapıldıgından, geliştirdiğimiz yöntemle yapılan ölçümler elektrot şartlarındaki herhangi bir değişimden bağımsızdır. Halbuki yalnız tam kan iletkenlik ölçümünü esas alan yöntemlerde elektrot şartlarındaki değişimler sonuçlarda sapmalara yol açmaktadır. Ayrıca diğer elektronik yöntemlerle Lappin'in (27) üzerinde çok darduğu hatalardan ve sıkıştırılmış hücre topluluğu içinde tutuklanan plazmanın yol açtığı yanılmaların kurtulmak mümkün olmuştur.

Literatürde Ponder'in (20), plazma ve tam kan rezistif impedans ölçümülerinden yola çıkarak bir hematokrit tayin yöntemini İleri Süreğünü biliyoruz. 1935'de bildirilen bu çalışmaya takip eden yayınılarda 1948'de Rosenthal ve Tobias (23), Ponder'in tanımladığı formülle elde edilen hematokrit hesabının diğer yöntemlere göre % 7.7 daha düşük değer verdiği İleri özmüşlerdir.

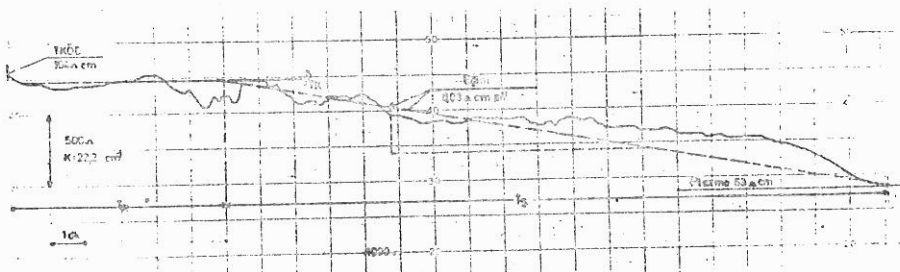
Rezistif impedans değerleri ile hematokrit ilişkisini belirleyen [3] bağıntısından elde edilen hematokrit değerlerinin mikrosantrifüj yöntemiyle tayin edilen değerlerle tam bir tutarlılık göstermesi, heparinlenmiş kan örneklerinde eritrosit gruplarının plazma iletkenliğini sferoid veya silindirik nötr ve yaltkan kümeler tarzında etkilediği ve çok küçük akım şiddetlerinde (mikroampere düzeyinde) elektriksel iletimin başlica Na ve Cl iyonlarıyla olduğu sonucunu ortaya koymaktadır.

Araşturmamızda elektrosedimentasyon eğrisinin yorumlanması açısından kullanılan parametrelerin önemli bir kısmı (T_r , T_s , M_s) rulo oluşumu süresi ve ruloların sedimentasyonunu belirlemektedir. Hematokrit değeri eğrinin görünümünü etkilediği için M_s parametresi, α ile bağımlılık göstermektedir. M_s ile α arasındaki ilişkili denklemi ile belirlenen YG parametresi tayini ile elde edilen değerlendirmeye, sadece M_s 'e bağlı değerlendirmeden gelen güçlükleri aşmakta ve yöntemi daha güvenilir hale getirmektedir.

Romatizmal aktiviteli hastalarla, infeksiif endokarditlerin elektrosedimentasyon eğrileri % 86 oranında birbirinden ayırlabilmektedir. Sunulan parametrelerden β , M_s ve YG istatistiksel bakımdan ayırdediciidir. Bunların içinde en belirleyici olan YG'dır ($p < 0.001$). Hematokrit'in % 25'in üzerinde bulunduğu olgularda bu ayırım gözle rahatlıkla yapılabilmektedir. Hematokrit'in düşük olduğu hastalarda ise parametrik değerlendirmeye gereksinim vardır.

Daha önceki araştırmalarımızda, akut romatizmal ateş ve diğer kollajen doku hastalığı olan olguların eğrilerinin birbirlerine benzeyğini ve parametrik analizde dahi ayırlamadığını saptamıştık (10). Aynı şekilde infekatif endokarditli hastaların elektrosedimentaryon eğrileri de genel infeksiyonlu diğer olguların eğrilerine benzerlikle ve parametrik olarak dahi ayırlamamaktadır. Düşüncemize göre otoimmün ve bakteriyel orjinli hastaların eğrilerinin birbirlerinden farklılık göstermesi muhtemelen bu hastalıklar arasında eritrosit zulaşma fenomenlerinin ayrı olması ile açıklanabilir.

Elektrosedimentasyon eğrisi üzerinde çalıştığımız yıllarda bazı "atipik" görünümlü eğriler bulunuyor ve bunları bir kenara ayrıyorduk. Bu eğrilerde (Şekil 9) sedimentasyon daha uzun sürüyor ve eğri勩klemelen küçük ruloların elektrot gözlem sahasından geçişine bağlı olarak daha az girişimli ve çıkışlı seyrediyordu. Bir gün normal bir kana gerekisinin duyduğumuz için çalışma ekipinden Dr. Yurdaydin'in kavram inceleyince benzer eğriyi görmemiz üzerine "atipik" dedığımız eğriler "tipik" hale dönüştü, çünkü Dr. Yurdaydin kendisinde β thalassemia minör olduğunu biliyordu.



Şekil 9. Thalassemia minör'lü bir hastaya ait elektrosedimentasyon eğri örneği (TKÖD: Tam kan özdireci; diğer terimler metin içinde açıklanmıştır).

β thalassemia minör'lü 30 hastanın eğrilerinin % 92'sinde "tipik" thalassemia minör eğrisi elde edilmiştir. Bu durum özellikle sedimentasyon hızının yavaş olduğu thalassemia minör hastalar için parametrik değerlendirilmeye gerek duyulmadan gözle ortaya konulabilemektedir. 16 olguda (% 57) bu böyledir. 11 olguda (% 39) parametrik değerlendirme gerekmış, üç olguda ise ayırm yapılamamıştır. Parametrik analizde en belirleyici parametre M_S 'dır ($p < 0.0001$).

Thalassemia minör'lü hastaların normalden kolayca ayırlabilen tipik görünümlü eğrileri muhtemelen bu kişilerde anizositoz, poikilositoz ve mikrositoz nedeniyle rulolarların daha küçük olmaları ile açıklanabilecektir. Çalışmamızla uyumlu olarak Stasiw ve arkadaşları

(27) thalassemia minör'lü hastalarda sedimentasyon yarılanma süresinin anlamı olarak uzun olduğunu belirtmişlerdir.

“Ayırımsız” kan örnekleri, romatizmal aktivite-infekatif endokardit ayırımında % 14, normal - β thalassemia minör ayımında ise % 8'dir. Bu olguların % 90'ında hematokrit % 25'den aşağı değerlerdedir.

Elektrosedimentasyon eğrisinin konvansiyonel metodlara göre dezavantaj ve avantajları aşağıda özetlenmiştir.

Dezavantajlar:

1. Birkaç öğeli bir gözlem sistemine ihtiyaç vardır.
2. Teknik hatalardan kaçınmak için belirli kan miktarı ve elektrot konumu gibi koşullara titizlikle uyulmalıdır.
3. Özel eğitimli teknik personele ihtiyaç göstermektedir.

Avantajlar:

1. Sedimentasyon fenomeni daha çabuk değerlendirilebilmektedir.
2. Sabit sıcaklıkta çalışma zorunluluğu olduğu için diğer yöntemlerde olduğu gibi sıcaklık düzeltme nomogramlarına gerek yoktur.
3. Sedimentasyon eğrisinden hematokrit hesaplanabilmektedir.
4. Geliştirilen korelasyon eğriyle sedimentasyon hızı kolayca mm/saat olarak belirlenebilmektedir.
5. En önemli avantajı ise sedimentasyonun tekrarlanabilen bir eğri ile belirlenebilmesi ve bu eğrilerin hastalıklarla ilgili kalitatif bilgi verebilmesi olanağıdır.

Kanımızca sedimentasyon olayını tüpün dışından değil içinden bakılmalıdır. Konu, kuşkusuz daha ileri araştırmalara açıktır.

ÖZET

Eritrositlerin çökme olusunu belirleyen yeni bir yöntem (elektrosedimentasyon) sunuldu. Elektrosedimentasyon ölçüm ve eğri analizinden sedimentasyon hızı ve hematokrit tayini ile birlikte, hastalıklar hakkında kalitatif bilgi çıkarılabileceği saptandı. 120 olguya kapsayan incelemede romatizmal aktiviteli hastaların eğrilerinin infekatif endokarditlerden % 86, β thalassemia minör'lü hastaların ise normal olgulardan % 92 oranında ayrılabildiği anlaşıldı. Bu farklılığın bahsedilen hastalarda eritrosit rulolama karakteristiklerinin değişikliğine bağlı olabileceği görüşü öne sürüldü. Yeni yöntemin sedimentasyon fenomeni kavramına getirdiği yenilikler tartışıldı.

SUMMARY

**Electrosedimentation
A New Method**

A new method (electrosedimentation) for measuring the erythrocyte sedimentation rate (ESR) was presented. The ESR and hematocrit values determined by means of this method were in good agreement with those obtained with conventional methods. It was further shown that electrosedimentation may as well provide qualitative information that could be used for differential diagnosis of certain diseases. In this study on 120 patients and 50 normals, rheumatic activity could be differentiated from infective endocarditis in 80 %, and β -thalassemia from normals in 92 % of the cases. It was suggested that the different curves obtained were due to different rouleaux formation characteristics. Advantages and disadvantages of employing this new ESR determination method in clinical practice were discussed.

KAYNAKLAR

1. Cutts JH: Cell Separation, Methods in Hematology, First edition, Academic Press, New York-London, p.39, 1970.
2. Dawson JB: The ESR in a new dress. *Br Med J*, 1:1697, 1960.
3. Documenta Geigy: Scientific tables, 6th edition, ed.:Konrad Diem JR, Geigy SA, Basle, Switzerland, p.568, 1962.
4. Fahraeus R: The suspension stability of the blood. *Acta Med Scand*, 55:1, 1921.
5. Fricke H: The Maxwell-Wagner dispersion in a suspension of ellipsoids. *J Physic Chem*, 57:934, 1965.
6. Green AE, Signy AG: Determination of the hematocrit using SMA-4. *J Clin Pathol*, 21:533, 1968.
7. Güner Z: Elektrolitlerde ve biyolojik materyelde lokal özdirenç ve mobilite değişim oranı tayini. *AÜ Tıp Fak Mec*, 26:1099, 1973.
8. Güner Z, Batuman V, Iliçin G: Tam kan ve plazma rezistif empedans ölçümelerinden yeni bir hematokrit tayin yöntemi. *AÜ Tıp Fak Mec*, 26:593, 1973.
9. Güner Z, Iliçin G, Yurdaydin C, Sorkun M: Eritrosit empedans sedimentasyon eğrisinin romatizmal aktivite ve infektif endokardit ayırcı tanısındaki değeri. *Ankara Tıp Bülteni*, 2:257, 1980.
10. Iliçin G, Güner Z: Empedans yöntemi ile elde edilen sedimentasyon eğrisinin subakut bakteriyel endokardit ve romatizmal aktivitede değerlendirilmesi. *Türk Kard Der Arş*, 6:145, 1976.
11. Iliçin G, Güner Z, Karamehmetoğlu A: Recording of red blood cell sedimentation (ESR) as a curve by impedance method and its value in differential diagnosis. *7th European Congress of Cardiology, Abstract Book II*, 288, 1976.
12. Iliçin G, Güner Z, Yurdaydin C: Eritrosit empedans sedimentasyon eğrisinin β thalassemia minor tanısındaki değeri. *Ankara Tıp Bülteni*, 2:303, 1980.
13. Lappin TRJ, Lamont A: A cause of error in the determination of the hematocrit using the SMA-4. *J Clin Pathol*, 21:114, 1968.

14. Lappin TRJ, Lamont A, Nelson MG: An evaluation of the auto analyser SMA-4. *J Clin Pathol*, 22:11, 1969.
15. Lappin TRJ, Lamont A, Nelson MG: An evaluation of the Fisher Hemalyser. *J Clin Pathol*, 23:60, 1970.
16. Nelson MG: Multichannel continuous flow analysis on the SMA-4/7. *J Clin Pathol* (Suppl 3), 22:20, 1969.
17. Pehlivan F: Comparative study of the conductivity and the complex dielectric constant of the metal-solution interface for biological and alkali halide solutions. *Chem Abst*, 87: 610, 1977.
18. Pinkerton PH, et al: An assessment of the coulter counter model S. *J Clin Pathol*, 23:68, 1970.
19. Pirofsky B: The determination of blood viscosity in man by a method based on Poiseuille's law. *J Clin Invest*, 32:292, 1953.
20. Ponder E: The measurement of red cell volume. Conductivity measurements. *J Physiol*, 85:439, 1935.
21. Ranoff OD, Menzie C: A new method for the determination of fibrinogen in small samples of plasma. *J Lab Clin Med*, 37:316, 1951.
22. Robinson RA, Stokes HA: Electrolyte Solutions, 2nd edition, Butterworths, London, p.310, 1968.
23. Rosenthal RL, Tobias CW: Measurement of the electric resistance of human blood. Use in coagulation studies and cell volume determinations. *J Lab Clin Med*, 33:1110, 1948.
24. Rourke MD, Ernsteni AC: A method for correcting the erythrocyte sedimentation rate for variations in the cell volume percentage of blood. *J Clin Invest*, 8:545, 1930.
25. Sipe CR, Crankite EP: Studies on the application of the coulter electronic counter in enumeration of platelets. *Ann NY Acad Sci*, 99:262, 1962.
26. Smith CH: A method for determining the sedimentation rate and red cell volume in infants and children with the use of capillary blood. *Am J Med Sci*, 197:73, 1936.
27. Stasiw DM, et al: Some hemorheological and hematological parameters in heterozygous B-thalassemia. *Biorheology*, 14:1, 1977.
28. Wang JH: Theory of the self diffusion of water in protein solutions. *J Am Chem Soc*, 76:4755, 1968.
29. Washburn AH, Meyers AJ: The sedimentation of erythrocytes at an angle of 45 degrees. *J Lab Clin Med*, 49:318, 1957.
30. Williams JW, Beutler E, Erslew JA, Rundles RW: Hematology, McGraw Hill Book Co., New York, 1972.
31. Wintrobe MM, Lansberg JW: A standardized technique for the blood sedimentation test. *Am J Med Sci*, 189:102, 1935.
32. Wintrobe MM: Clinical Hematology, Fifth edition, Lea, Febiger, Philadelphia, 407, 1961.